可见光多相类芬顿降解水中孔雀石绿

张瑛洁1,2,马军1,姚军2,赵吉1,陈雷2,张亮2

(1. 哈尔滨工业大学 市政环境工程学院,城市水资源开发利用(北方)国家工程研究中心,哈尔滨 150090;

2. 东北电力大学 化学工程学院, 吉林 吉林 132012, zhangyingjiejls@ yahoo. com. cn)

摘 要:为强化多相类芬顿反应的速率,采用可见光辅助树脂载铁(Fe^{III}/R)为催化剂催化过氧化氢降解水中孔雀石绿(MG).结果表明,可见光能强化 MG 的降解.探讨初始 pH 值、过氧化氢初始浓度和 MG 初始浓度及叔丁醇等对反应速率的影响.叔丁醇实验表明羟基自由基和高价态铁在反应中同时存在.催化剂重复使用表明铁在树脂表面负载比较牢固,具有较好的稳定性.

关键词:多相类芬顿;孔雀石绿;羟基自由基;高价铁;离子交换树脂

中图分类号: TQ032.41

文献标志码: A

文章编号: 0367-6234(2010)04-0573-03

Degradation of dye Malachite Green solution over Fe^{III} – loaded resin in the presence of H_2O_2

ZHANG Ying-jie 1,2 , MA Jun^1 , YAO Jun^2 , ZHAO Ji^1 , CHEN Lei^2 , ZHANG Liang^2

(1. National Engineering Research Center of Urban Water Resources, School of Municipal and Environmental Engineering, Harbin Institute of Technology, Harbin 150090, China; 2. School of Chemical Engineering, Northeast Dianli University, Jilin 132012, China, zhangyingjiejls@ yahoo. com. cn)

Abstract: In order to increase the reaction rate of the heterogeneous Fenton – like, the catalyst Fe^{III}/R was used to catalytically decompose H_2O_2 under visible light for the removal of Malachite Green (MG) in aqueous solution. The effect of initial pH, initial H_2O_2 concentration, initial MG concentration and t – butanol on the reaction rate was also discussed. The result shows that the visible light can enhance the degradation of MG. The experiment of t – butanol shows that the ferryl iron and hydroxyl radical coexist in the system. Repeated use of catalyst does not decrease the removal rate of MG.

Key words: heterogeneous Fenton-like; Malachite Green; hydroxyl radical; ferryl iron; ion exchange resin

孔雀石绿(Malachite green, MG)属三苯甲烷类染料,具有高毒素、高残留和致癌、致畸、致突变等副作用,在水处理中属于难生物降解的有机污染.近年来,以高分子聚合物为载体的多相类芬顿表现出优异的催化性能,并引起广泛关注.常用的高分子聚合物有 Nafion 离子交换膜^[1-4]或离子交换树脂^[5-6],在其上负载铁或铁络合物在光照下催化过氧化氢降解染料废水.本文主要探讨中性条件下的多相类芬顿试剂(Fe^{III}负载于离子交换

树脂)在可见光下催化过氧化氢降解 MG 的反应动力学,探讨初始 pH 值、温度、初始过氧化氢浓度、初始染料浓度对催化过氧化氢降解 MG 的动力学影响,并考察催化剂的重复使用性能,为该催化剂的实际应用打下良好的基础.

1 实验

1.1 实验材料及仪器

实验所用药品 $Fe(NO_3)_3 \cdot 9H_2O_xMG_x30\%$ H_2O_2 以及 NaOH 等其他各种试剂均为分析纯. MG 溶液用蒸馏水配置. 实验中树脂采用 D001 大 孔阳离子交换树脂(上海争光树脂厂). 水样的 pH 值通过稀 NaOH 和稀 $HClO_4$ 溶液调节.

收稿日期: 2008-08-12.

基金项目: 国家高技术研究发展计划(863)项目(2006AA06Z306).

作者简介: 张瑛洁(1969一),女,博士研究生,副教授;

马 军(1962—),男,博士生导师,长江学者特聘教授.

1.2 催化剂的制备

新树脂预处理步骤为:新树脂先用 4%的 NaOH 溶液浸泡 5 h,然后用蒸馏水洗至中性,再用 5%的盐酸浸泡 5 h,最后再用蒸馏水清洗,直至 pH 值约为 6.上述过程重复 3 次.

催化剂的制备过程为: 称量于室温下干燥的 树脂 50 mg, 置于 50 mL 的锥形瓶中, 向其加入 0.1 mol/L 的 $Fe(NO_3)_3$ 溶液 10 mL, 将锥形瓶置 于恒温振荡器(25 $^{\circ}$ C,110 r/min) 中反应 24 h 后 取出, 用蒸馏水洗涤催化剂 5 次后将水倒净, 此时制备的是 Fe^{III}/R . 用等离子发射光谱(ICP, Perkin Elmer Optima 5300)测定溶液中铁离子浓度的变化, 得到树脂上铁的负载量为(100 ±5) mg/g.

1.3 实验方法

在装有催化剂的锥形瓶中,加入 100 mL 一定浓度的 MG 溶液,使用稀的 NaOH 或 HClO_4 溶液调节所需要的 pH 值. 将锥形瓶置于恒温振荡器中,设定温度. 在恒温水域振荡器上方加装两个 500 W 卤钨灯,钨灯外用水冷却. 加入 1 mL 一定浓度的 H_2O_2 ,反应开始计时,控制振荡器转速约为 110 r/min. 每间隔一段时间取样 1 mL,用于测量目标物的脱色情况和 H_2O_2 的分解情况.

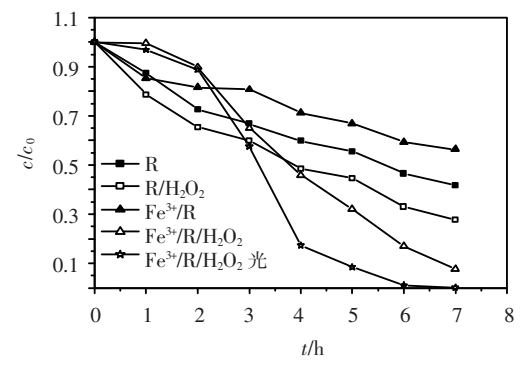
1.4 实验分析方法

MG 的浓度用 UV -4802 UV/Vis 分光光度计测量,特征吸收峰在波长 615 nm 处. H_2O_2 浓度采用钛盐分光光度法加以测量 $^{[7]}$. 使用 pHS -3C 型 pH 计测量 pH 值.

2 结果与讨论

2.1 Fe^Ⅲ/R 催化剂在可见光下的催化性能

阳离子交换树脂(R)和树脂负载 Fe^{3+} (Fe^{3+}/R)后对 MG 的吸附和氧化能力如图 1 所示. 树脂负载 Fe^{3+} 以后(Fe^{3+}/R)其对 MG 的吸附能力下降,但其分解 H_2O_2 的能力却大大提高,在



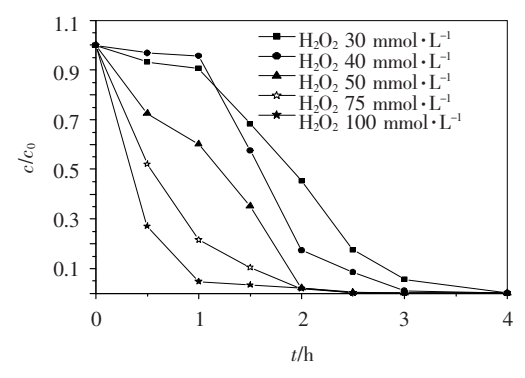
MG 初始浓度:0.5 mmol/L,100 mL; H_2O_2 初始浓度:40 mmol/L; 催化剂:50 mg; 温度:25 \mathbb{C} ;初始 pH:6.0.

图 1 不同条件下降解 MG 的效果

可见光的照射下, Fe^{3+}/R 催化 H_2O_2 的反应速率 加快,在反应 4 h 后,MG 溶液就已经完全脱色.

2.2 过氧化氢初始浓度对 MG 降解的影响

改变 H_2O_2 的初始浓度,可见光下 Fe^{III}/R 催化 H_2O_2 降解 MG 的结果如图 2 所示. 表 1 为不同 H_2O_2 初始浓度对应的反应速率常数及线性相关系数. 在一定的浓度范围内, H_2O_2 的初始浓度越高,反应速率常数越大; 当 H_2O_2 的浓度大于75 mmol/L时,反应速率常数反而减小. 这可能是由于过量的 H_2O_2 将捕获羟基自由基(· OH) 而使反应的速率常数下降.



MG 初始浓度: 0.5 mmol/L,100 mL;温度: 45 ℃;催化剂: 50 mg;初始 pH:6.0.

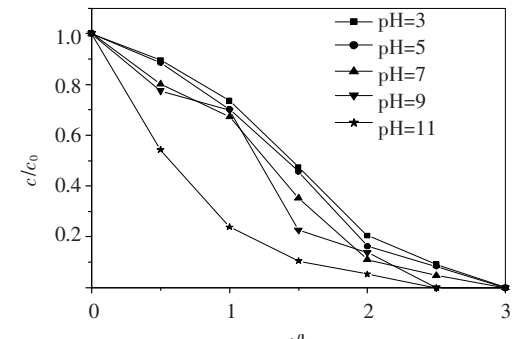
图 2 H₂O₂ 初始浓度对降解 MG 的影响

表 1 不同 H_2O_2 初始浓度对应的反应速率常数

初始 H₂O₂ 浓度 mmol・L⁻¹	$\frac{K_{\mathrm{obs}}}{\mathrm{h}^{-1}}$	R^{2}
30	1.753	0.925
40	1.951	0.972
50	2.699	0.965
75	2.784	0.967
100	2.204	0.944

2.3 初始 pH 值对 MG 降解的影响

初始 pH 值对可见光 Fe^{III}/R 催化剂体系催化分解 H_2O_2 降解 MG 的影响如图 3 所示. 随着 pH 的增大, MG 的降解逐渐增强. 当 pH 值为 11 时, MG 与碱溶液反应生成白色沉淀,但总体来看, pH 值对 MG 的去除影响不大.

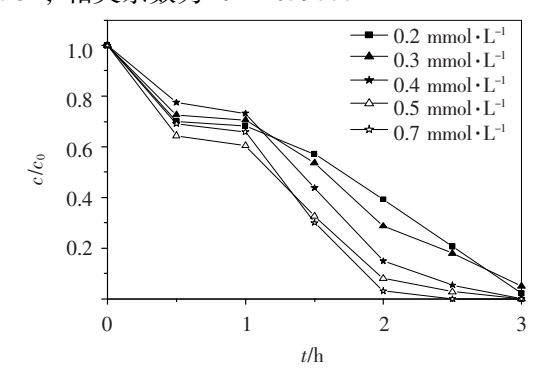


MG 初始浓度: $0.5 \text{ mmol/L } 100 \text{ mL}; \overset{t/h}{H_2}O_2$ 初始浓度:40 mmol/L; 催化剂: $50 \text{ mg}; 温度:<math>45 \text{ }^{\circ}\text{C}$.

图 3 初始 pH 值对降解 MG 的影响

2.4 MG 初始浓度对 MG 降解的影响

在 H_2O_2 浓度一定的条件下,改变 MG 的初始 浓度, Fe^{III}/R 催化 H_2O_2 降解 MG 的结果如图 4 所示. 表 2 为不同 MG 初始浓度对应的反应速率 常数及线性相关系数. 可见,初始 H_2O_2 的浓度越高,反应速率越快. 反应速率常数与 H_2O_2 的初始 浓度具有很好的相关性,以反应速率常数为纵坐标,以初始 MG 浓度为横坐标作图得 y=1.67x+0.81,相关系数为 $R^2=0.977$.



H₂O₂ 初始浓度:40 mmol/L;催化剂:50 mg; 温度:45 ℃. 图 4 MG 初始浓度对降解 MG 的影响

表 2 不同 MG 初始浓度对应的反应速率常数

初始 H ₂ O ₂ 浓度 mmol⋅L ⁻¹	$\frac{K_{ m obs}}{{ m h}^{-1}}$	R ²
0.2	1.231	0.853
0.3	1.272	0.938
0.4	1.386	0.953
0.5	1.664	0.955
0.7	2.016	0.895

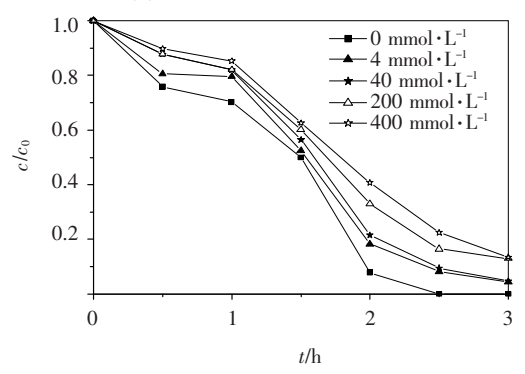
2.5 自由基抑制剂对 MG 降解的影响

在暗反应催化条件下, 叔丁醇对 MG 的降解几乎没有影响. 但在可见光催化的作用下, 叔丁醇对 MG 降解效率的影响非常明显, 如图 5 所示, 加入的叔丁醇的浓度越高, MG 的降解受到抑制的程度越大. 同时, 还可发现在叔丁醇为 400 mmol/L时, 此浓度的叔丁醇足以抑制体系中·OH 的产生, 但反应速率在 1 h 后反而增大, 这说明体系中存在着其他的反应活性物种, 有可能是高价态铁^[8], 这说明体系中羟基自由基和高价铁同时存在.

2.6 催化剂的稳定性

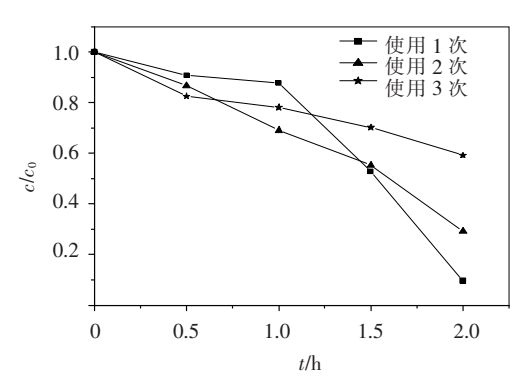
为了考察 Fe^{III}/R 催化剂体系的稳定性,对催化剂进行了重复使用实验. 结果表明,重复使用 3 次后,催化效果并没有明显地下降,如图 6 所示. 这表明实验中铁的负载稳定牢固,而且催化活性没有明显降低,但在实验中也发现树脂重复使用

后机械强度下降.



MG 初始浓度:0.5 mmol/L 100 mL; H_2O_2 初始浓度:40 mmol/L; 催化剂:50 mg; 温度:45 °C.

图 5 自由基抑制剂对降解 MG 的影响



MG 初始浓度:0.5 mmol/L 100 mL; H_2O_2 初始浓度:40 mmol/L; 催化剂:50 mg; 温度:45 °C.

图 6 催化剂重复利用对降解 MG 的影响

3 结 论

- 1)可见光下 Fe^{III}/R 催化剂分解 H_2O_2 的能力增强,反应的活性物种可能是 \cdot OH 和高价态铁同时共存.
- 2)随着 pH 值升高,MG 的降解率增大,但总体影响不大.在 pH 值 3~11 的范围内,都能有效地对 MG 进行降解.
- 3)在一定范围内, H_2O_2 的初始浓度越高,反应速率越快.
- 4) 在 H₂O₂ 浓度一定的条件下, MG 初始浓度 越高, 反应速率越快. 反应速率常数与反应初始浓 度也具有很好的线性相关性.
- 5)催化剂 Fe^Ⅲ/R 重复使用后仍然具有较好的催化活性,说明铁在树脂表面负载比较牢固,催化剂具有反复使用的能力.

参考文献:

[1] FERNANDEZ J, BANDARA J, LOPEZ A, et al. Pho-(下转第 596 页)